

埼玉大学工学部 佐藤 邦明
飛島建設 ○鶴田 孝也

はじめに

石油や液化ガスの岩盤タンク備蓄は欧米をはじめ諸外国では今世紀半ば以降多くの実績があり、わが国でも最近実用化されつつある¹⁾。また、圧縮空気エネルギー・システム(CAES)も実用実験が進められている。これらの技術を支える燃料や圧縮空気の岩盤タンクへの貯蔵・格納方式は水封システム(Water Seal System)である。つまり、岩盤タンク周辺における地下水圧が漏気・漏液を防止するとする方式である。

この水封方式の機密性については、①岩盤タンク壁からガス(空気)が表面張力に打ち勝って浸透(漏気)するか否か(つまり $P_g < P_c$: P_g : ガス圧力、 P_c : 表面張力圧力; 漏気表面張力バリアー)、②岩盤中へ侵入したガスが移動するか否か(漏気したガスの蓄積とガスの浮力が駆動力となり、 $P_g + P_b < P_w$ 、 P_g : 空隙内ガス圧力、 P_b : ガスの浮力換算圧力、 P_w : 水圧: 透気地山バリアー)の2者が要となる²⁾。

本論は、これらの2つの水封機能を岩石の室内透気試験によって実験的に明かにしようとしたものである。

キーワード: 岩石、透気、室内実験、水封機能、岩盤タンク

1. 実験装置と実験ケース

実験装置は透気載荷圧力が 0~80kgf/cm² と大きく、空気の圧縮性が大きいため特に設計されたものであり、図-1に示すように安全性に十分配慮した構造となっている。主要部分は、岩石試料格納水圧容器(高さ: 200mm、直径: 106mm、肉厚: 10mmのステンレス製)、岩石試料(長さ: 0.15m、直径: 0.05m)、空気圧力計(最小圧力目盛: 0~1 kgf/cm²、最大圧力: 100 kgf/cm²)、圧力・温度表示盤(デジタル表示: 1/100 精度)、空気流量計(0~10cm³/min、及び 100cm³/min と2段切り替え)、岩石試料側圧加圧システム(空気コンプレッサー: 最大 8kgf/cm² 及び増圧機)からなる。実験装置の全景は写真-1の通り。

実験手順は以下のようである。

まず、岩石試料の周囲にゴムスリーブをはめ、格納水圧容器に設定し、ボルト留める。ついで、コンプレッサーを始動させ貯水タンクに貯水し、水圧容器内の圧力を上げ、岩石試料の周囲を加圧する。この状態で空気ポンベを開放し、調圧弁を調整して所定の透気圧力を設定する。この空気は空気流量計を経て岩石試料の上端から載荷されて透気試験が行われる。すべての透気試験について設定圧力は 0、10、20、... 80kgf/cm² と増圧しながら試験された。

実験ケースと実験に用いた岩石試料の物性は表-1のようである。

本透気試験に当たってどのような岩石を選定するかについては、花崗岩のようにかなり硬質で透気性が小さいと予想されるもの、他方モルタルのように透気性が大きいと思われるもの、さらに安山岩のように中程度の透気性をもつと考えられるもの、と3種に大まかに分けて検討した。

すべての実験は、実験中の温度・湿度の変化を防止するため、温度23°C ± 1°C、相対湿度40~50%の恒温・恒湿室で行われた。なお、乾燥岩石の透気実験も初期飽和岩石のそれも圧力レベルを順次増加させつつ進めた。

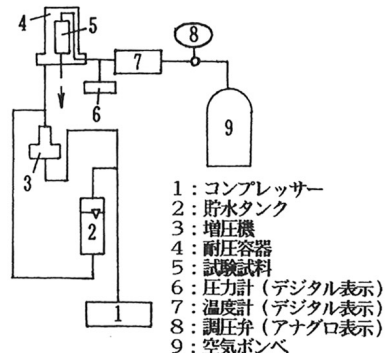


図-1 実験装置とシステム



写真-1 実験装置の全景

2. 実験結果とその考察

図-2には今回得られた一連の実験結果の中の2つの岩石、江持安山岩と白河凝灰岩について、載荷空気圧力Pと透気流量Qの関係がそれぞれ乾燥、(初期)飽和状態の場合について示されている。まず、乾燥の場合に注目すると、圧力が増すにつれ、透気流量が急激に増え、非線型的に増加している。これは空気の圧縮性により、圧力が高いほど透気量は大気圧状態において、そのボリュームを増すためである。

この傾向は初期飽和状態で透氣する場合にも同様となっている。しかし、含水した場合には透気量が極端に小さく、かつ、ある圧力値、つまり、しきい値(threshold pressure)に達しなければ、透気が発生しないことが判る。この点は、岩盤タンクの水封方式による気密性を考える際、極めて大切な新しい知見であろう。また、しきい値が存在しないまでも、岩の透気が含水によって非常に抑制されることがはっきりした。

つぎに、乾燥、湿潤状態における透気性を量的に評価するため、下記の式で固有浸透係数Kを求めた。

$$K = \frac{2Q\mu_a}{A} \frac{P_a - 1}{P_o^2 - P_1^2} \quad (1)$$

ここに、A : 試料断面積、Q : 透気流量、l : 試料長さ、 μ_a : 空気の粘性係数、P_a : l = 0 の圧力、P_o : l = 1 の圧力、P₁ : 平均圧力(圧力分布は直線とならないため、積分平均値をとる)。

実験的に得られた固有浸透係数Kの値が試料ごとに表-1に示されている。また、これらの値を用いて乾燥と湿潤の空隙率λ、固有浸透係数Kの比の値を図-3に示した。

むすび

岩石の室内透気実験を通して、本研究で得られた結論は以下の通り。

- ①圧力勾配の増加により透気量は空気の圧縮性のため非線型的に増大する。つまり、透気量Qは圧力の2乗に比例する。この性質は乾燥岩石のみならず飽和岩石にも成り立つ。
- ②初期飽和岩石の透気量は乾燥岩石のそれの5%~30%に減少する。
- ③固有浸透係数は、乾燥状態で $10^{-17} \sim 10^{-15} \text{ m}^2$ 、初期飽和状態で $10^{-18} \sim 10^{-16} \text{ m}^2$ であった。

表-1 実験ケースと岩石の物性

Samples	Dried Effective Porosity λ_d (%)	Dried Intrinsic Permeability K_d (10^{-16} m^2)	Wetted Effective Porosity λ_{st} (%)	Wetted Intrinsic Permeability K_{st} (10^{-16} m^2)
Emochi Andesite	12.96	1.120	1.12	0.054
Shin Komatsu Andesite	3.54	6.184	1.45	3.641
Izu Tuff	22.43	1.899	2.67	0.047
Shirakawa Tuff	21.30	69.000	9.79	8.150
Teisen Granite	0.74	0.178	0.43	0.050
Inada Granite	0.67	0.127	0.21	0.047
Cement Mortar	23.57	16.92	2.49	0.154

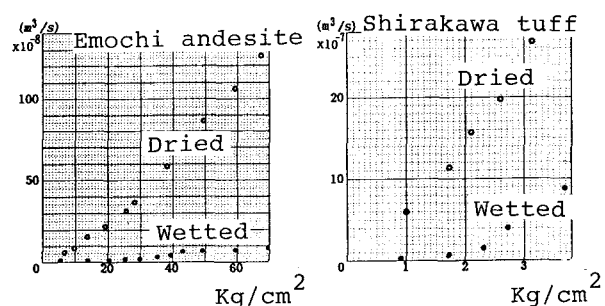
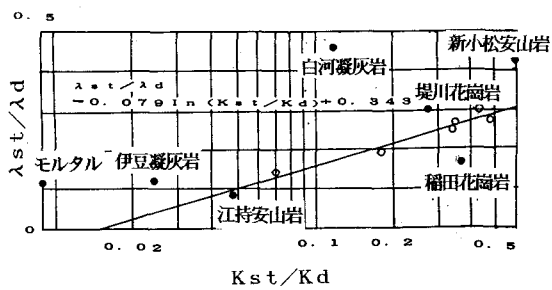


図-2 圧力勾配と透気量の関係

図-3 空隙率比と無次元固有浸透係数の関係



参考文献

- 1)坂口雄彦、伊藤洋、佐藤邦明、清水昭男：岩石および開口割れ目における透気に関する基礎研究、土木学会論文集、No. 445 / III-18, PP. 17~25, 1992.3
- 2)佐藤邦明：地下水流动とその解析、土木学会・水理委員会、水工学シリーズ92-A-7, PP. A-7-1~A-7-20, 1992.8